

طراحی و بهینه‌سازی چندهدفه یک میکروپمپ هیدرودینامیک مغناطیسی تزریق دارو

بابک زاهد^۱، امین بهزادمهر^{۱*}، حسن آذرکیش^۱، طاهره فنایی شیخ الاسلامی^۱، قاسم میری علی‌آباد^۲

^۱ دانشکده مهندسی نیکبخت، دانشگاه سیستان و بلوچستان، زاهدان، ایران

^۲ مرکز تحقیقات سلامت کودکان و نوجوانان، دانشگاه علوم پزشکی زاهدان، زاهدان، ایران

تاریخچه داوری:

دریافت: ۱۳۹۹/۰۴/۱۷

بازنگری: ۱۳۹۹/۰۸/۱۹

پذیرش: ۱۳۹۹/۰۸/۲۴

راهن آنلاین: ۱۳۹۹/۰۸/۲۸

کلمات کلیدی:

میکروپمپ هیدرودینامیک

مغناطیسی

تزریق دارو

محلول آبی نمکی

بهینه‌سازی چندهدفه

خلاصه: تزریق مداوم دارو نقش مهمی در تاثیرگذاری دارو ایفا می‌کند، با این حال در اغلب موارد، اندازه، وزن و توان مصرفی پمپ‌های تزریق متداول فاکتورهای مهمی هستند که مشکلات عمده‌ای برای راحتی بیمار در حین تزریق مداوم ایجاد می‌کند. هدف پژوهش حاضر طراحی و بهینه‌سازی یک میکروپمپ هیدرودینامیک مغناطیسی به منظور تزریق مداوم دارو است. به منظور بررسی امکان تزریق دارو توسط پمپ مذکور، یک مدل ریاضی برای میکروپمپ هیدرودینامیک مغناطیسی پیشنهاد و به صورت تحلیلی حل شده است. سپس به منظور راحتی بیمار حین تزریق، میکروپمپ با استفاده از الگوریتم ژنتیک مرتب‌سازی غیرمغلوب (NSGA II) بهینه گردید. پارامترهای تعداد سطر و ستون کانال‌ها، عرض و ارتفاع کانال و همچنین ولتاژ کارکرد به عنوان متغیرهای تصمیم‌گیری در بهینه‌سازی چند هدفه انتخاب شد و در ادامه، نتایج بهینه‌سازی به صورت نمایش جبهه پرتو گزارش داده شده است. شش حالت مختلف که خصوصیات موردنظر طراحی را دارا بود با استفاده از روش تصمیم گیری فازی انتخاب شد. در ادامه نیز مدل دینامیک سیالات محاسباتی برای پیش‌بینی شکل‌گیری حباب به دلیل الکترولیز سیال تهیه شد. طراحی حاضر علاوه بر قابلیت اطمینان بالاتر به دلیل نداشتن قسمت‌های مکانیکی، قابلیت تحويل جریان سیال تا ۴۸ برابر بیشتر، در ولتاژ کارکردی سه برابر کمتر، در مقایسه با میکروپمپ‌های متداول را داراست. علاوه بر این، طراحی حاضر قابلیت اطمینان بالاتر و فرایند ساخت ساده‌تر بدون هیچگونه بخش مکانیکی را نیز دارد.

۱- مقدمه

یک پمپ تزریق مناسب بایست دارای خصوصیاتی از جمله اندازه کوچک، وزن سبک، توان مصرفی پایین، قابلیت اطمینان بالا، عمر طولانی و زیست سازگاری باشد. همچنین به دلیل تماس آن با بدن، سطح ولتاژ کارکرد می‌بایست محدود گردد (کمتر از ۱۲ ولت [۱۰]). میکروپمپ‌ها به دلیل اندازه کوچک، وزن کم و قابلیت کنترل نرخ جریان، بهترین انتخاب برای استفاده در سیستم‌های تحویل دارو می‌باشند [۱۱ و ۱۲].

تحقیق و توسعه در زمینه کاربرد میکروپمپ در سیستمهای تحویل دارو از سال ۱۹۷۵ بوسیله توماس و بسمان [۱۳] آغاز

سیستم‌های تحویل دارو فرمولاسیون‌های دارویی یا دستگاه‌هایی هستند که برای تحویل کنترل شده یک ماده درمانی به بدن انسان استفاده می‌گردند [۱]. در دو دهه اخیر توجه بیشتری به کنترل تحویل دارو با استفاده از میکروپمپ‌ها شده است [۲ و ۳]. مکانیزم تحریک این میکروپمپ‌ها با استفاده از مواد پیزوالکتریک [۴ و ۵]، نیروهای الکترومغناطیسی [۶ و ۷]، پریستالتیک تغییر فاز حرارتی [۸] و غیره [۹] انجام می‌شود. برای یک نرخ جریان معین دارو،

* نویسنده عهددار مکاتبات: amin.behzadmehr@eng.usb.ac.ir



یک منبع متناوب جریان را برای تولید میدان مغناطیسی ارائه نمودند که تولید حباب را در جریان سیال کاهش می‌داد. لیکن توان مصرفی بالای آن، نقطه ضعف طراحی ایشان قلمداد می‌شود. نگوین و کاسگن پیشنهاد یک میکروپمپ هیدرودینامیک مغناطیسی با الکترودهای قرار داده شده در داخل مخزن را ارائه دادند. در این طراحی حبابها داخل مخزن تولید می‌شد و نمی‌توانست وارد کanal اصلی گردد. سیال کارکرد محلول آبی نمکی بود و نرخ جریان تولید شده و ولتاژ کارکرد آن به ترتیب ۳۲۵ میکرولیتر بر دقیقه و ۵ ولت بود.

همانطور که بررسی گردید با وجود اینکه پمپ‌های هیدرودینامیک مغناطیسی در مقایسه با دیگر انواع پمپ‌ها مزایای قابل توجهی برای کاربرد در سیستمهای تحویل دارو را داراست، لیکن تولید حباب بیش از حد ناشی از الکتروولیز سیال کارکرد در ولتاژهای کارکرد بالا می‌تواند منجر به مشکلات جدی و اختلال در جریان سیال گردد. هدف اصلی پژوهش حاضر، بدست آوردن ساختاربندی مناسب برای میکروپمپی است که قابلیت تولید جریان مداوم سیال (کمتر از ۳ سی سی بر دقیقه) با ولتاژ کارکرد، وزن و اندازه کمتر نسبت به دیگر میکروپمپ‌ها را دارا باشد. بنابراین یک میکروپمپ برای پمپ کردن دارو (محلول آبی نمکی) طراحی و سپس بهینه گردید. سه تابع هدف برای فرایند بهینه‌سازی انتخاب گردید. حداقل کردن توان مصرفی و اندازه فیزیکی و همچنین حداکثر کردن نرخ جریان برای بدست آمدن میزان دز داروی موردنیاز مورد نظر قرار گرفت. از طرف دیگر برای جلوگیری از تولید حباب، حداکثر ولتاژ کارکرد باید محدود باشد. در ادامه نیز یک مطالعه موردي انجام شده است تا به خوبی تزریق مداوم محلول دارو به عنوان یک کاربرد ویژه از سیستم تحویل دارو مورد بررسی گیرد.

۲- مدلسازی ریاضی

۲-۱- تعریف مسئله و هندسه

یک میکروپمپ هیدرودینامیک مغناطیسی جریان مستقیم برای پمپ کردن محلول آبی نمکی با نرخ جریان کمتر از ۳ سی سی بر دقیقه طراحی و سطح مقطع آن در شکل ۱ نمایش داده شده است. میکروپمپ از $n \times n$ آرایه از کanal‌های مستقیم با سطح مقطع مستطیل شکل تشکیل شده است. هر کanal دارای دو الکترود است که در دیوارهای مقابل هم جای گرفته است. این الکترودها به یک

شد. ایشان میکروپمپ پیزوالکتریک قابل کاشتی را توسعه دادند که در لوزالمعده مصنوعی کاربرد داشت. اسمیت [۱۴ و ۱۵] یک پمپ پریستالتیک را برای استفاده در سیستم تحویل کنترل شده انسولین توسعه داد. پس از آن طراحی‌ها و کارهای مختلفی بر روی کوچک کردن سیستم‌های تحویل دارو با روش‌های مختلف تحریک انجام گردید. برخی از مکانیزم‌های تحریکی که می‌توان بدان اشاره نمود عبارتند از الکترواستاتیک [۱۶-۱۸]، پیزوالکتریک [۱۹-۲۴]، ترمومپونوماتیک [۲۵-۲۷]، آلیاژ حافظه‌دار [۲۸]، الکترواسمز [۲۹]، الکتروشیمیایی [۳۰]، هیدرودینامیک مغناطیسی جریان متناوب [۳۱] و هیدرودینامیک مغناطیسی جریان مستقیم [۳۲-۳۷].

در بین سیستم‌های مذکور با تحریک غیرمکانیکی، هر دو نوع جریان مستقیم [۳۸] و جریان متناوب [۳۹] پمپ‌های هیدرودینامیک مغناطیسی دارای قابلیت استفاده در کاربردهای بیوپزشکی را دارا هستند. این پمپ‌ها دارای مزایای قابل توجهی در مقایسه با دیگر پمپ‌های غیرمکانیکی و همچنین مکانیکی هستند که عبارتند از نیروی اعمالی مداوم به سیال، فرایند ساخت ساده‌تر، ولتاژ کارکرد پایین، قابلیت اطمینان و عمر زیاد است. میکروپمپ‌های هیدرودینامیک مغناطیسی قابلیت پمپ کردن هر سیال رسانای الکتریکی در محدوده بالاتر از یک زیمنس بر متر مانند سرم نمکی و یا بیشتر محلول‌های آبی نمکی مورد استفاده در کاربردهای پزشکی را داراست [۴۰]. پدیده هیدرودینامیک مغناطیسی در سال ۱۸۳۲ توسط ریچی [۴۱] مشاهده گردید و از دهه ۱۹۶۰ اصول و مفاهیم آن توسعه داده شد [۴۲] و متعاقباً برای کنترل و پمپ کردن فلزات مایع استفاده گردید [۴۳ و ۴۴].

یکی از اولین پمپ‌های هیدرودینامیک مغناطیسی که برای پمپ کردن محلول آبی نمکی، بوسیله یانگ و لی [۳۳] در سال ۲۰۰۰ توسعه داده شد. نتایج ایشان نشان داد که در حین کارکرد پمپ، به دلیل ولتاژ کارکرد بالا، حباب تولید می‌گردد بنابراین جریان خروجی مداومی ایجاد نمی‌گردد. در سال ۲۰۰۰، هوانگ و همکاران [۳۴] یک میکروپمپ هیدرودینامیک مغناطیسی جریان مستقیم را توسعه دادند که نرخ جریان خروجی‌ای در حدود ۱۱۰۰ میکرولیتر بر دقیقه تولید می‌کرد. هرچند نتایج تجربی نشان داد که تولید بیش از حد حباب پس از چند صد ثانیه باعث ایجاد مشکل جدی در عملکرد پمپ می‌شود. هنگ و همکاران [۳۱] و لمف و لی [۳۲] پیشنهاد استفاده از

جدول ۱. خواص فیزیکی سیال کارکرد

Table 1. Physical properties of working fluid

$1/3 \text{ S/m}$	رسانایی الکتریکی (σ)
0.00100^3 Pa.s	لزجت دینامیکی (μ)
998 kg/m^3	چگالی (ρ)
4182 J/kg K	ظرفیت گرمایی و بیزه (C_p)

نیروی لورنتز است که منبع ایجاد جریان در میکروپمپ هیدرودینامیک مغناطیسی می‌باشد. این نیرو از برهمکنش بین دو میدان عمود برهم مغناطیسی و الکتریکی ایجاد می‌گردد.
قانون اهم:

$$\vec{j} = \sigma(\vec{E} + \vec{u} \times \vec{B}) \quad (4)$$

معادله انرژی (با ناچیز فرض کردن اتلاف ویسکوز):

$$\rho C_p \left(\frac{\partial T}{\partial t} + (\vec{u} \cdot \nabla) T \right) = K \nabla^2 T + \frac{\vec{j} \cdot \vec{j}}{\sigma} + S_R \quad (5)$$

معادله انتقال گونه‌ها:

$$\frac{\partial(\tilde{n}Y_i)}{\partial t} + \nabla \cdot (\rho \vec{u} Y_i) = -\nabla \cdot \vec{J}_i + \mathbb{R}_i \quad (6)$$

واکنش‌های الکترولیزی که ممکن است اتفاق بیفتند در جدول ۲ آورده شده است.

معادلات مکسول:

$$\nabla \cdot \vec{D} = \rho_e \quad \text{where: } \vec{D} = \epsilon_0 \vec{E} \quad (7)$$

$$\nabla \cdot \vec{B} = 0 \quad (8)$$

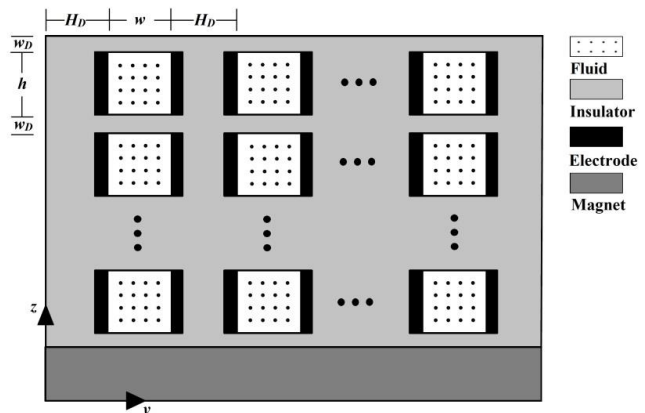
$$\nabla \times \vec{E} = -\frac{\partial \vec{B}}{\partial t} \quad (9)$$

$$\nabla \times \vec{H} = \vec{j} + \frac{\partial \vec{D}}{\partial t} \quad \text{where: } \vec{H} = \frac{\vec{B}_j}{\mu_0} \quad (10)$$

پایستاری جریان الکتریکی:

$$\nabla \cdot \vec{j} = 0 \quad (11)$$

این مجموعه معادلات دیفرانسیل پاره‌ای برای جریان سیال در هر کanal با کمک شرایط مرزی نمایش داده شده در جدول ۳ حل خواهد



شکل ۱. سطح مقطع میکروپمپ
Fig. 1. Micropump cross-section

منبع ولتاژ جریان مستقیم (V) متصلند. آهنربای دائمی نئودیمیوم با چگالی شار 100 Gaoes برای ایجاد میدان مغناطیسی (B) در نظر گرفته شده است.

۲-۲- معادلات حاکم و شرایط مرزی

محلول آبی نمکی به عنوان سیال کارکرد، غیرقابل تراکم، نیوتینی و تک فاز در نظر گرفته شده است. رژیم جریان توسعه یافته، حالت دائم و آرام فرض شده است. میدان مغناطیسی و الکتریکی نیز یکنواخت در نظر گرفته شده است. محلول دارو اغلب در نرمال سالین^۱ حل می‌گردد بنابراین محلول آب نمک با خواص ثابت به عنوان سیال کارکرد مفروض است که خواص آن در جدول ۱ ذکر شده است. به دلیل اینکه کanal به طور کامل با سیال کارکرد پر شده است لذا تأثیر تنش سطحی ناچیز در نظر گرفته شده است.

جریان هیدرودینامیک مغناطیسی به شکل ریاضی با معادلات حاکم شامل پایستاری جرم، مومنتوم، انرژی، انتقال گونه‌ها و قانون اهم، معادلات مکسول و پایستاری جریان الکتریکی معروف می‌گردد:

معادله پایستاری جرم:

$$\nabla \cdot \vec{u} = 0 \quad (1)$$

معادله پایستاری مومنتوم:

$$(\tilde{n} \vec{u} \cdot \nabla) \vec{u} = -\nabla p + \tilde{n} \vec{g} + \mu \nabla^2 \vec{u} + \vec{F}_L \quad (2)$$

$$\vec{F}_L = \vec{j} \times \vec{B} \quad (3)$$

¹ Normal Saline

جدول ۲. واکنش‌های الکتروولیز محلول آبی نمکی [۴۶]

Table 2. Aqueous salt solution electrolysis reactions

الکترود	واکنش	انرژی فعالسازی
۱ Cathode	$2H_2O + 2e^- \rightleftharpoons H_2(g) + 2OH^-$	- ۰,۸۳ V
۲ Anode	$2Cl^- \rightleftharpoons Cl_2(g) + 2e^-$	- ۱,۳۶ V

ضمیمه آورده شده است)

$$u(y,z) = \sum_{n=1}^{\infty} \left[B_1^* \cosh \lambda_n y \right] \quad (12)$$

$$\sin \lambda_n z + \frac{1}{2} p^* (z^2 - zh) \quad (12)$$

$$B_1^* = \frac{2p^*}{h \lambda_n^3 \cosh \left(\lambda_n \frac{w}{2} \right)} \left[1 - \cos(\lambda_n h) \right] \quad (13)$$

$$\lambda_n = \frac{n\pi}{h} \quad n = 1, 2, \dots, \infty \quad (14)$$

$$p^*(x) = \frac{w(p_1 - p_0) - \sigma B_0 V_0 L}{\mu w L} \quad (15)$$

سرعت محوری متوسط:

$$u_m = \frac{\int_0^h \int_{-\frac{w}{2}}^{\frac{w}{2}} u(y,z) dy dz}{\int_0^h \int_{-\frac{w}{2}}^{\frac{w}{2}} dy dz} \quad (16)$$

بنابراین:

$$u_m = \frac{1}{wh} \sum_{n=1}^{\infty} \left[\frac{-2B_1^*}{\lambda_n^2} \sinh \left(\lambda_n \frac{w}{2} \right) (\cos(\lambda_n h) - 1) \right] - \frac{p^* wh^3}{12} \quad (16)$$

لذا نرخ تزریق دارو، توان مصرفی و حجم فیزیکی پمپ می‌تواند با روابط ذیل تعیین شوند:

نرخ جریان خروجی (نرخ تزریق دارو) میکروپمپ هیدرودینامیک مغناطیسی جریان مستقیم با در نظر گرفتن رابطه (۱۶)

جدول ۳. شرایط مرزی

Table 3. Boundary conditions

Inlet	$p_{in} = p_{atm}$ $T_{in} = T_{amb}$ $Y_{H_2O,in} = 1$
Outlet	$p_{out} = p_{atm}$ $\left(\frac{\partial T}{\partial x} \right)_{out} = 0$ $\left(\frac{\partial Y_{species}}{\partial x} \right)_{out} = 0$
walls	$\vec{n} \cdot \nabla T = 0$ (Adiabatic walls) $\vec{u}_{wall} = 0$ (No slip condition)

شد (تحلیلی و عددی).

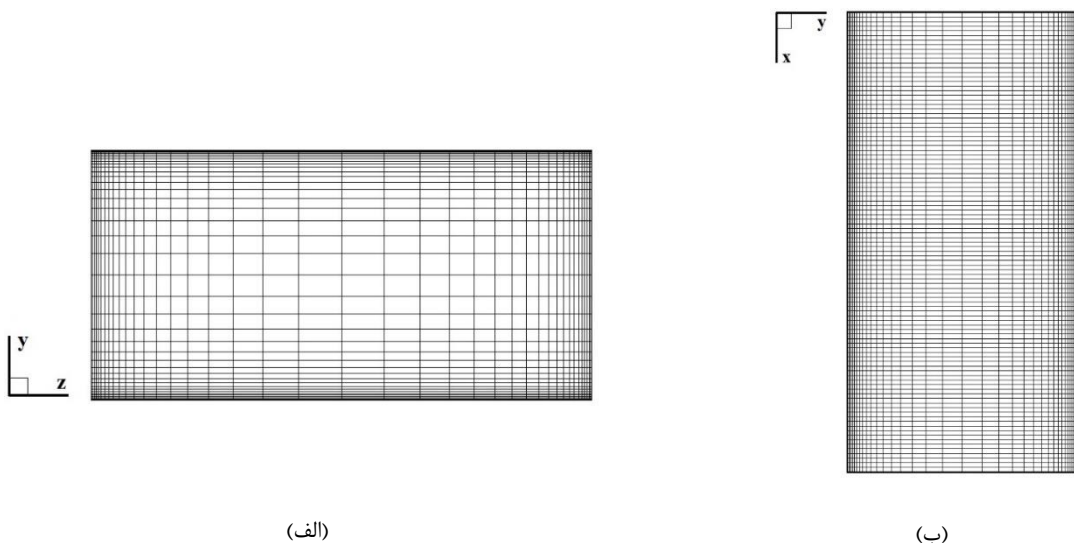
۳- حل تحلیلی و عددی

برای بدست آوردن ساختاربندی مناسب پمپ، عملکرد هیدرودینامیکی میکروپمپ هیدرودینامیک مغناطیسی طراحی شده بایست مورد مطالعه قرار گیرد. سهتابع هدف برای فرایند بهینه‌سازی انتخاب شده است. حداقل کردن توان مصرفی و اندازه فیزیکی میکروپمپ برای راحتی بیمار و حداکثر کردن نرخ جریان برای بدست آمدن دز موردنیاز دارو.

این معادلات با هر دو روش تحلیلی و عددی حل می‌شوند. حل تحلیلی برای بهینه‌سازی میکروپمپ مورد استفاده قرار می‌گیرد در حالی که حل عددی برای اطلاعات تفصیلی تولید حباب در داخل کanal‌های میکروپمپ موردنیاز می‌باشد.

حل تحلیلی

معادلات ذکر شده (جز معادله انرژی و انتقال گونه‌ها) به صورت همزمان و تحلیلی حل شده‌اند. بنابراین پروفیل سرعت در سطح مقطع کanal به شکل ذیل بدست آمده است: (جزئیات روش حل در



شکل ۲. توزیع شبکه‌بندی (الف) در سطح مقطع کanal (ب) در طول کanal

Fig. 2. Grid distribution at the (a) channel cross-section and (b) along the channel length

محدود به صورت عددی حل شده است. شبکه‌بندی ساختاریافته چهارضلعی که در محدوده نزدیک دیواره ریزتر شده است (جایی گرادیان پارامترها اهمیت دارند) برای گسته‌سازی محدوده محاسباتی انتخاب شده است. شکل ۲ توزیع شبکه‌بندی را در سطح مقطع کanal و در طول محور کanal نشان می‌دهد.

طرح تفاضل مرکزی برای گسته‌سازی جمله‌های نفوذ و روش بالادست مرتبه دوم برای گسته‌سازی بقیه جملات استفاده شده است. الگوریتم سیمپل^۱ برای کوپل کردن میدان فشار و سرعت مورد استفاده قرار گرفته است. معیار همگرایی برای معادله انرژی 10^{-10} و برای بقیه معادلات 10^{-6} در نظر گرفته شده است.

اعتبارسنجی نتایج تحلیلی و عددی

برای بدست آوردن شبکه‌بندی مناسب، استقلال از شبکه‌بندی به منظور اطمینان از صحت نتایج حل عددی و عدم وابستگی نتایج به تعداد شبکه انجام گرفت. سپس مقایسه نتایج عددی و تجربی انجام شد. شکل ۳ مقایسه بین نتایج تحلیلی و عددی مدل تهیه شده پژوهش حاضر و نتایج عددی و تجربی ایتو و همکاران [۴۷] (یک میکروپمپ هیدرودینامیک مغناطیسی جریان مستقیم) را نمایش می‌دهد. همانطور که نشان داده شده، تطابق خوبی بین نتایج قابل مشاهده است. برای چگالی جریان الکتریکی برابر $14/6$ میلی آمپر، حداکثر انحراف پروفیل سرعت محلی بدست آمده با مدل تحلیلی، $\approx 2\%$

$$Q = n_r n_c u_m A = n_r n_c \left[\sum_{n=1}^{\infty} \left[\frac{-2B_1^*}{\lambda_n^2} \sinh \left(\lambda_n \frac{w}{2} \right) \right] (\cos(\lambda_n h) - 1) \right] - \frac{p^* w h^3}{12} \quad (17)$$

$$p^*(x) = \frac{w(p_1 - p_0) - \sigma B_0 V_0 L}{\mu w L} \quad (18)$$

توان مصرفی میکروپمپ هیدرودینامیک مغناطیسی جریان مستقیم:

$$P_{cons} = n_r n_c \frac{V_0^2}{R_f} \quad (19)$$

$$R_f = \frac{w}{\sigma h L} \quad (20)$$

حجم فیزیکی میکروپمپ:

$$V_{pump} = H_m W_m L \quad (21)$$

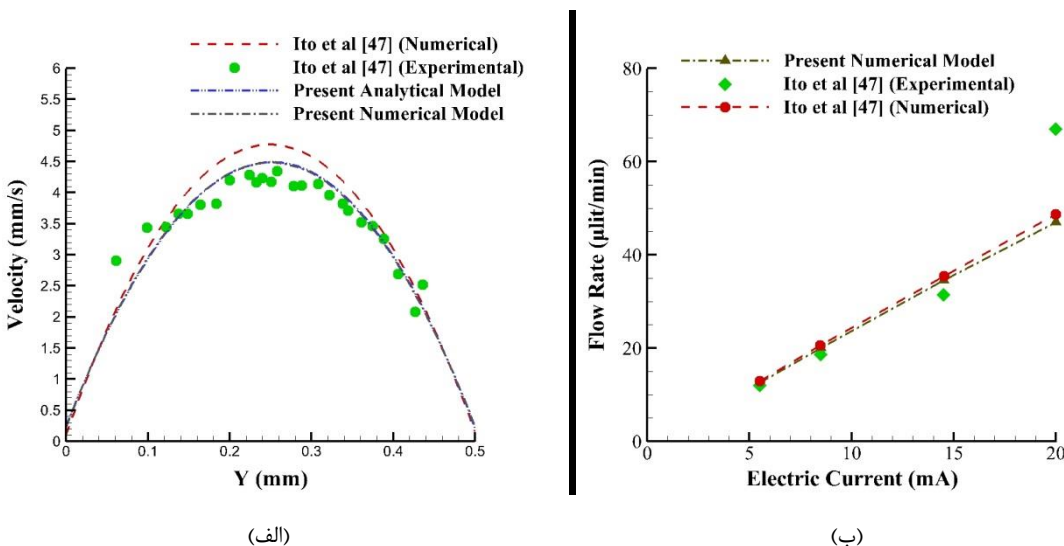
$$H_m = (n_c + 1) H_D + n_c w \quad (22)$$

$$W_m = (n_r + 1) V_D + n_r h \quad (23)$$

حل عددی

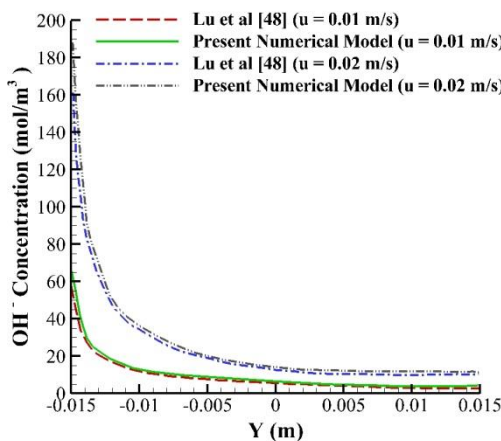
معادلات حاکم که پیشتر ذکر شده با استفاده از روش حجم

¹ Semi-Implicit Method for Pressure Linked Equations (SIMPLE)



شکل ۳. اعتبارسنجی (الف) مدل عددی با کار ایتو و همکاران [۴۷]

Fig. 3. Validation of (a) analytical and (b) numerical model with Ito et al. [47]



شکل ۴. اعتبارسنجی مدل الکترولیز با مقایسه غلظت هیدروکسید در طول کانال

Fig. 4. Validation of electrolysis model by comparison between OH^- concentration across the channel

- حجم میکرопمپ کمتر از ۲ سانتیمتر مکعب
 - نرخ جریان خروجی کمتر از ۳ سی سی بر دقیقه (حداکثر نرخ موردنیاز)
- فهرست متغیرهای تصمیمگیری و محدوده تغییرات آنها در جدول ۴ نمایش داده شده است.

الگوریتم ژنتیک مرتب‌سازی غیرمغلوب (NSGAII) که بوسیله دب و همکاران [۴۹] توسعه داده شده، برای بهینه‌سازی چندهدفه پژوهش انتخاب شده است. جمعیت انتخاب شده ۲۰۰ عدد، درصد

با کار عددی و ۱۰٪ با کار تجربی ایتو و همکاران و حداکثر انحراف نرخ جریان بدست آمده با مدل عددی، ۴٪ با نتایج عددی و ۱۰٪ با نتایج تجربی کار ایتو و همکاران مشاهده شد.

به منظور اعتبارسنجی مدل الکترولیز، نتایج غلظت OH^- در طول کانال، برای دو سرعت ورودی مختلف، با کار لو و همکارانش [۴۸] مقایسه گردید (شکل ۴). حداکثر خطا بین دو کار در حدود ۶٪ می‌باشد که به دلیل تفاوت در تقریب‌های استفاده شده برای خواص فیزیکی و شیمیایی گونه‌ها می‌باشد.

بنابراین با توجه به بررسیهای انجام شده می‌توان گفت نتایج حل عددی و تحلیلی قابل اطمینان و صحیح می‌باشند.

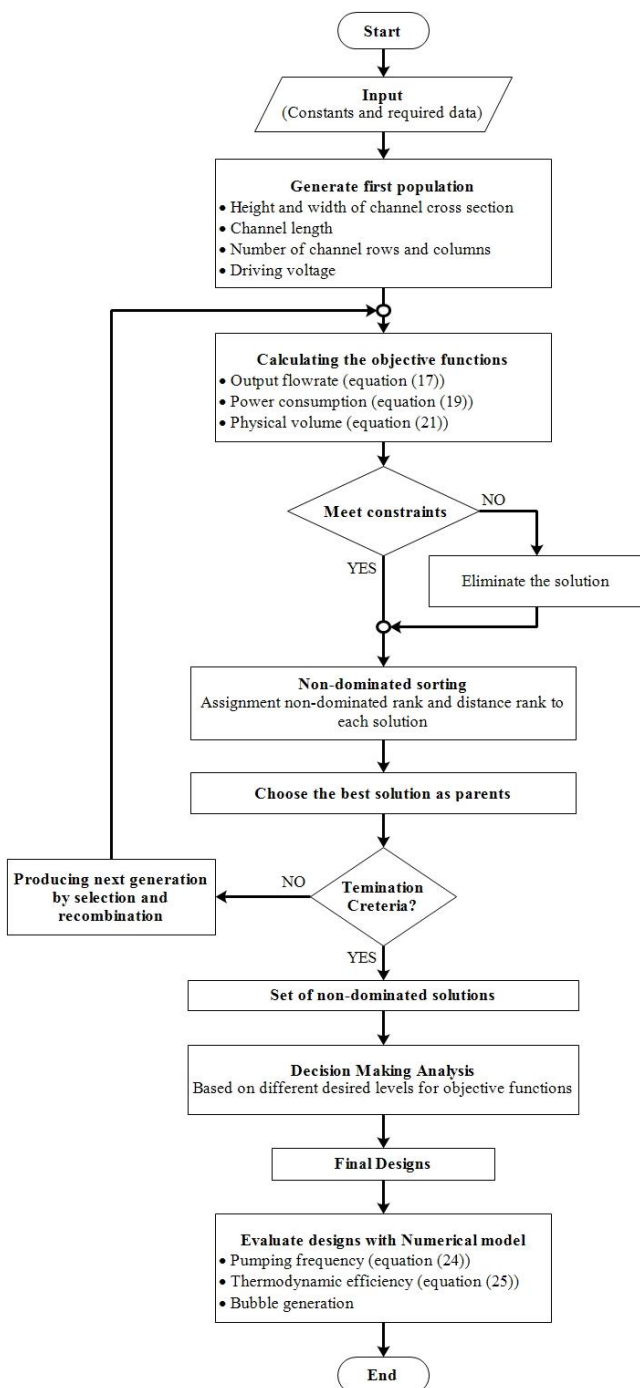
۴- بهینه سازی

همانطور که اشاره شد، پژوهش حاضر به دنبال حل مشکلات پمپ‌های متداول مورد استفاده بیماران می‌باشد. مشکلاتی از جمله وزن، اندازه و توان مصرفی. بنابراین هندسه و پارامترهای کارکرد میکرопمپ برای رسیدن به عملکرد موردنظر، بهینه گردید. لذا یک الگوریتم بهینه‌سازی چندهدفه برای بدست آوردن پارامترهای طراحی بهینه، مورد استفاده قرار گرفت که نرخ جریان خروجی را حداکثر و توان مصرفی و اندازه فیزیکی حداقل نماید. سه تابع هدف عبارتند از نرخ جریان خروجی، توان مصرفی و اندازه فیزیکی (روابط (۱۷)، (۱۹) و (۲۱)). این توابع براساس قیود ذیل بهینه شده‌اند:

جدول ۴. متغیرهای تصمیم‌گیری و محدوده آنها

Table 4. Decision variables and their bounds

متغیرهای تصمیم‌گیری	محدوده
عرض کانال	$0 < w \leq 2 \text{ mm}$
ارتفاع کانال	$0 < h \leq 2 \text{ mm}$
تعداد ردیف کانال	$0 < n_r \leq 10$
تعداد ستون کانال	$0 < n_c \leq 10$
ولتاژ کارکرد	$0,1 < V \leq 3 \text{ V}$



شکل ۵. فلوچارت روش محاسبات

Fig. 5. Flowchart calculation procedure

و بازده ترمودینامیکی:

$$\eta_t = \frac{Q \Delta p}{P_{cons}} = \frac{Q_{max} \Delta p_{max}}{4P_{cons}} \quad (25)$$

این دو معیار برای موارد بهینه (ذکر شده در جدول ۵) محاسبه شده و در شکل ۷ نمایش داده شده است.

کراس اور^۱ و درصد جهش^۲ نرخ آن به ترتیب ۰/۰۲ و ۰/۰۲ در نظر گرفته شده است. روش جهش و کراس اور، اریتمتیک^۳ است و نتایج پس از ۱۵۰ تکرار بدست آمده است. فلوچارت فرایند محاسبات در شکل ۵ نمایش داده شده است.

۳- نتایج و بحث

شکل ۶ جبهه پرتو هر جفت از توابع هدف را بطور جداگانه نمایش می‌دهد. همانطور که مشخص است جبهه پرتو مجموعه‌ای از نقاط بهینه را در فضای توابع هدف نشان می‌دهد. بنابراین بر اساس کاربرد موردنظر، پارامترها و شرایط بهینه از بین تمام نقاط بهینه می‌بایست انتخاب گردد.

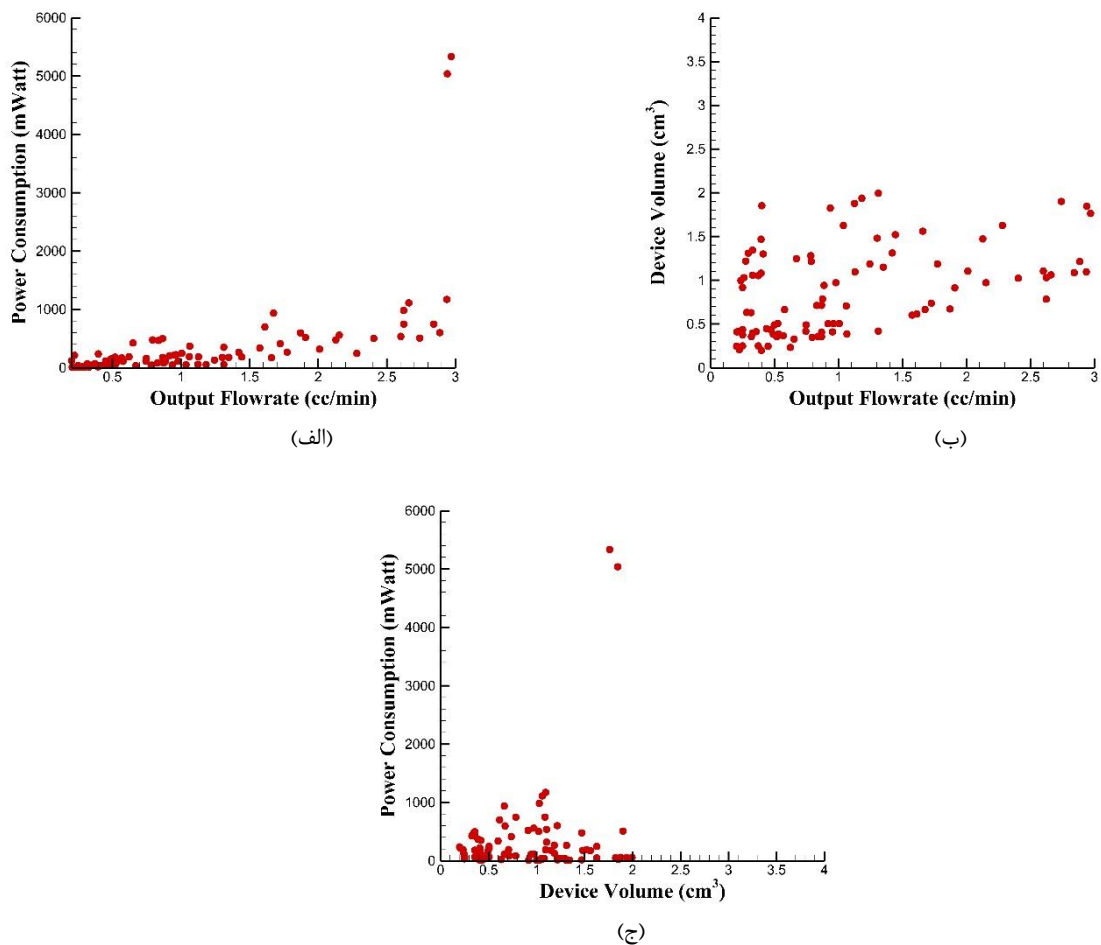
به عنوان یک مطالعه موردی، یک میکروپمپ برای تزریق دارو در نظر گرفته شده است. برای پیدا کردن نقاط بهینه که بتواند خصوصیات موردنظر میکروپمپ را تأمین نماید، روش تصمیم‌گیری فازی انتخاب شده است. شش طراحی مختلف با سطوح موردنظر مختلف، برای هر تابع هدف از جبهه پرتو انتخاب شد که در جدول ۵ آورده شده است.

به منظور انتخاب بهترین طراحی از میان شش مورد انتخاب شده، برای کاربرد مورد نظر، عملکرد موارد مذکور مورد مطالعه قرار می‌گیرد. برای مقایسه بهترین عملکرد پمپ کردن این موارد، دو معیار عملکردی به شکل ذیل تعریف می‌گردد:

فرکانس پمپ کردن:

$$f_{sp} = \frac{Q_{max}}{V_{pump}} \quad (24)$$

¹ Cross over² Mutation³ Arithmetic



شکل ۶. نقاط بهینه پرتو برای سهتابع هدف

Fig. 6. Pareto optimal points for three objective functions

جدول ۵. طراحی‌های بهینه انتخاب شده از جبهه پرتو با استفاده از روش تصمیم‌گیری فازی

Table 5. Optimum cases selected from Pareto front by fuzzy decision-making approach

مورد	سطوح موردنظر					متغیرهای تصمیم‌گیری					تابع هدف بهینه شده		
	نرخ جریان	حجم پمپ	توان صرفی	عرض (mm)	ارتفاع (mm)	ولتاژ کارکرد (V)	تعداد سطر	تعداد ستون	Q_{max} (cc/min)	V_{pump} (cm ³)	P_{cons} (mWatt)		
اول	۰/۱	۰/۵	۱	۲	۲	۰/۶	۳	۱	۰/۳۹۳۵	۱/۰۸	۳۷/۹		
دوم	۱	۰	۰	۱	۱/۹	۳	۴	۳	۲/۹۷۰۰	۱/۷۶۴	۵۳۳۵/۲		
سوم	۰	۱	۰	۱/۴	۱/۹	۳	۱	۱	۰/۳۹۷۰	۰/۱۹۸	۲۲۸/۱		
چهارم	۰	۰	۱	۲	۱/۹	۰/۳	۲	۲	۰/۲۳۶۵	۰/۹۹۹	۹/۳		
پنجم	۰/۸	۰/۸	۰/۸	۲	۲	۳	۲	۲	۲/۶۲۳۷	۰/۷۸۴	۷۴۸/۸		
ششم	۰/۸	۰/۴	۰/۶	۲	۱/۷	۰/۵	۲	۶	۰/۹۳۶۳	۱/۸۲۴	۴۹/۷		

به اندازه کوچکتر پمپ منتج می‌شود. از طرف دیگر با در نظر گرفتن بازده ترمودینامیکی، برای یک نرخ معین تزریق و افت فشار مشخص، توان مصرفی کمتر میکروپمپ به بازده ترمودینامیکی بالاتر منتج خواهد شد.

همانطور که مشاهده می‌شود مورد اول، دوم، چهارم و ششم دارای فرکانس پمپ کردن پایینی هستند در حالی که دو مورد دیگر برای کاربردهای نیازمند فرکانس بالای پمپ کردن، مناسب می‌باشند. بنابراین برای یک نرخ معین تزریق دارو، فرکانس پمپ کردن بالاتر

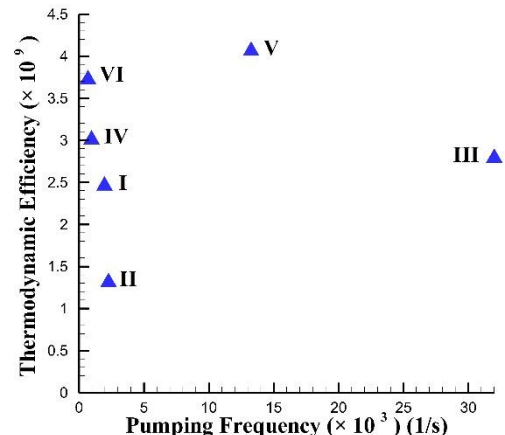
ششم بهترین انتخاب در میان دو مورد دیگر است. به منظور نشان دادن بهبود خصوصیات میکروپمپ حاضر، مقایسه میکروپمپ بهینه شده حاضر با دیگر میکروپمپهای در دسترس در پژوهش‌های گذشته برای کاربرد تزریق دارو، انجام و در شکل ۹ نمایش داده شده است. همانطور که اشاره شد، ولتاژ کارکرد برای این کاربرد بایست کمتر از ۱۲ ولت باشد در حالی که حداکثر نرخ تزریق مورد نیاز یک سی سی در نظر گرفته شده است. این شرایط کارکرد بیان شده، بوسیله منطقه خاکستری در شکل ۹ مشخص شده است. همانطور که قابل مشاهده است مورد ششم شرایط موردنیاز برای تزریق دارو را دارا می‌باشد. پس از مقایسه میان مورد ششم (طراحی حاضر) و دیگر میکروپمپ‌ها، مشاهده می‌شود که طراحی حاضر نیاز به ولتاژ کارکردی کمتر (یا توان مصرفی پایینتر) برای عملکرد دارد در حالی که نرخ جریان بالاتری را تأمین می‌نماید.

مقایسه مذکور نشان می‌دهد که ولتاژ کارکرد یک سوم شده است در حالی که نرخ جریان سیال ۴۸ برابر افزایش داشته است (در مقایسه با کمترین ولتاژ مورد نیاز در پژوهش‌های پیشین که کار کباتا و همکارانش است [۳۰]) همچنین مقایسه با کار گو و فوکودا [۲۸] نشان می‌دهد که طراحی بهینه حاضر ۳۳٪ محلول داروی بیشتری تحويل می‌دهد در حالی که ولتاژ کارکرد در حدود ۱۶ برابر کمتر نیاز دارد. بنابراین با طراحی بهینه کنونی، یک میکروپمپ با کارایی بالاتر و بدون هیچگونه قسمت مکانیکی بدست آمده است. به علاوه این میکروپمپ دارای قابلیت اطمینان بالاتر و فرایند ساخت ساده‌تر نیز می‌باشد.

۴- نتیجه گیری

یک میکروپمپ هیدرودینامیک مغناطیسی (کوچکتر از ۲ سانتیمتر مکعب) برای تزریق دارو، طراحی و بهینه شده است. به منظور مطالعه تأثیر پارامترهای طراحی بر عملکرد میکروپمپ طراحی شده، مدل ریاضی مربوط ایجاد شد و سپس با استفاده از روش تحلیلی حل گردید. در ادامه با الگوریتم ژنتیک مرتب‌سازی غیرمغلوب، بهینه‌سازی چند هدفه برای حداکثر کردن نرخ جریان دارو در کنار حداقل کردن اندازه فیزیکی و توان مصرفی میکروپمپ انجام گردید.

به عنوان یک کاربرد خاص، یک میکروپمپ تزریق در نظر گرفته



شکل ۷. فرکانس پمپ کردن در مقابل بازده ترمودینامیکی موارد بهینه انتخاب شده

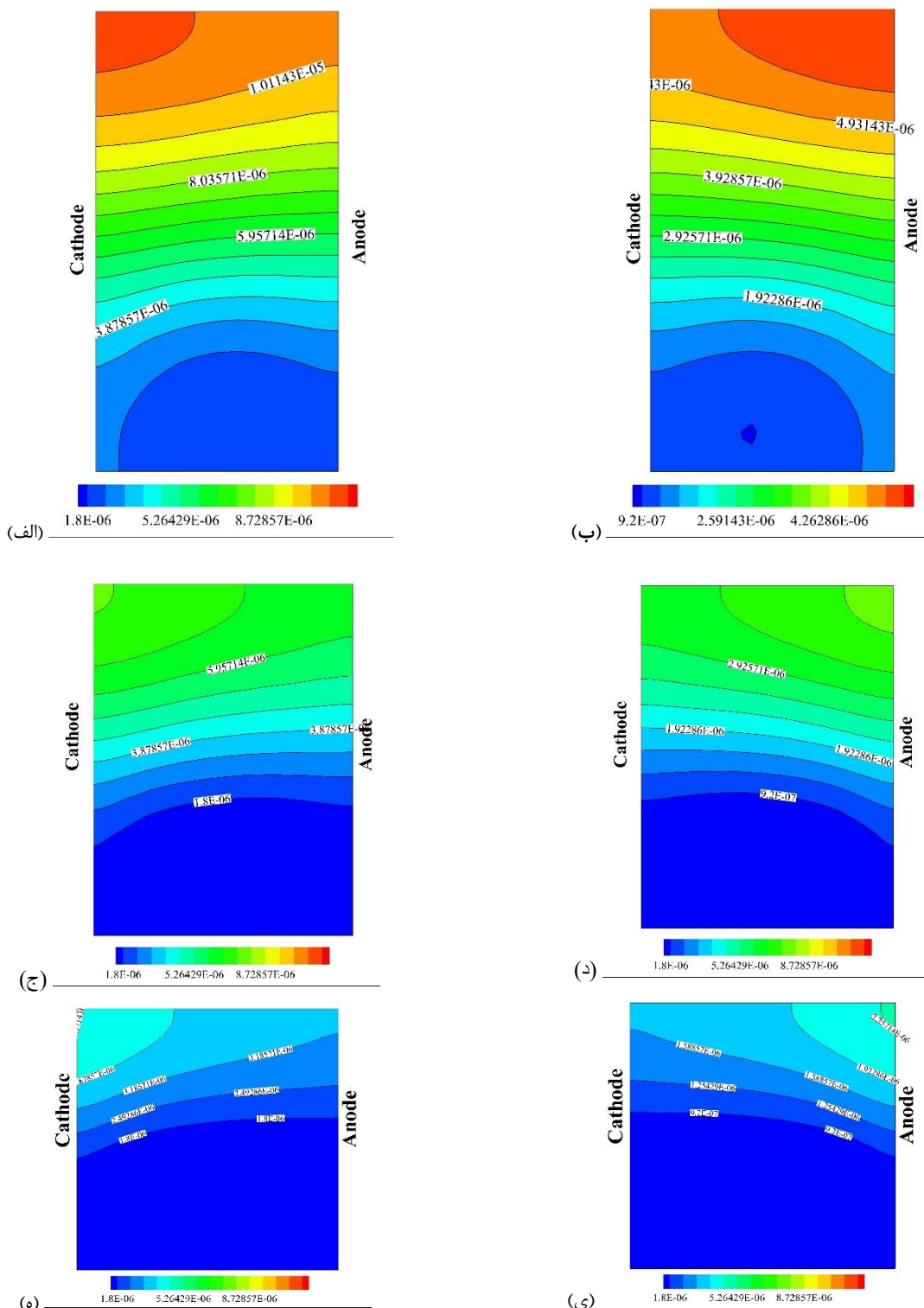
Fig. 7. Pumping frequency versus thermodynamic efficiency of selected optimum cases

ذکر این نکته ضروری است که احتمال تولید حباب معیار مهم دیگری است که در مدل تحلیلی در نظر گرفته نشده است. بنابراین به منظور پیش‌بینی غلظت حباب، نتایج عددی مدل دینامیک سیالات محاسباتی مورد استفاده قرار می‌گیرد. در صورتی که الکترولیز ایجاد شود (جدول ۱)، گاز کلر و هیدروژن به صورت حباب تشکیل می‌شود که می‌تواند برای بیمار خطرناک باشد.

نتایج مدل دینامیک سیالات محاسباتی نشان می‌دهد که در مورد اول، چهارم و ششم هیچگونه الکترولیزی اتفاق نمی‌افتد. در حالی که در سه مورد دیگر (دوم، سوم و پنجم) حباب‌ها به دلیل الکترولیز سیال شکل گرفته است. شکل ۸ غلظت گاز کلر و هیدروژن را در این سه مورد (دوم، سوم و پنجم) در طول کانال نشان می‌دهد.

همانطور که انتظار می‌رود غلظت هیدروژن در نزدیک کاند بیشتر است و غلظت کلر در نزدیکی آند میزان بیشتری را دارد. همانطور که مشاهده می‌شود در هر سه مورد غلظت گونه‌های گازی در بخش بالایی کانال بیشتر است که به دلیل چگالی کمتر این گونه‌ها در مقایسه با سیال کارکرد ایجاد می‌شود. با وجود ولتاژ کارکرد مشابه، تفاوت‌های ایجاد شده به دلیل اندازه مختلف کانال در این سه مورد ایجاد می‌شود.

جدول ۶ خصوصیات هر شش مورد را در خصوص تولید حباب جمع‌بندی کرده است. همانطور که دیده می‌شود مورد اول، چهارم و ششم به دلیل عدم شکل گیری حباب در سرتاسر میکروپمپ، موارد مناسبی هستند. هرچند با در نظر گرفتن بازده ترمودینامیکی مورد



شکل ۸. کسر مولی در سطح مقطع خروجی کاتال (الف) هیدروژن مورد دوم (ب) کلر مورد دوم (ج) هیدروژن مورد سوم (د) کلر مورد سوم (ه) هیدروژن مورد پنجم (ی) کلر مورد پنجم

Fig. 8. Mole fraction at cross-section of channel outlet (a) H₂ case II (b) Cl₂ case II (c) H₂ case III (d) Cl₂ case III (e) H₂ case V (f) Cl₂ case V

موردنظر را دارا بودند با استفاده از روش تصمیم‌گیری فازی انتخاب شدند. از مدل دینامیک سیالاتی محاسباتی اعتبارسنجی

شد. از میان نقاط بهینه (براساس جبهه پرتو بدست آمده برای توابع هدف مختلف)، شش مورد مختلف که خصوصیات میکروپمپ

$$\frac{\partial u_x}{\partial x} = 0 \quad (\text{الف ۱})$$

معادلات مومنتوم (رابطه (۲)) با در نظر گرفتن رابطه (الف ۱) و با فرض جریان حالت دائم و آرام می‌تواند به شکل ذیل نوشته شود:

$$x : \frac{\partial p}{\partial x} = \mu \left(\frac{\partial^2 u_x}{\partial y^2} + \frac{\partial^2 u_x}{\partial z^2} \right) + \sigma E_0 B_0 \quad (\text{الف ۲})$$

$$y : \frac{\partial p}{\partial y} = 0 \quad (\text{الف ۳})$$

$$z : \frac{\partial p}{\partial z} = 0 \quad (\text{الف ۴})$$

که در آن (x) p فشار استاتیک است. با توجه به اینکه $p = p$ بنا براین با استفاده از رابطه (الف ۲):

$$\frac{1}{\mu} \frac{dp}{dx} = \frac{\partial^2 u_x}{\partial y^2} + \frac{\partial^2 u_x}{\partial z^2} + \left(\frac{\sigma B_0 E_0}{\mu} \right) = k = \text{constant} \quad (\text{الف ۵})$$

بنابراین برای میدان فشار:

$$\frac{1}{\mu} \frac{dp}{dx} = k \quad (\text{الف ۶})$$

با شرایط مرزی:

$$x = 0 : p = p_0 \quad (\text{الف ۷})$$

$$x = L : p = p_1$$

و برای میدان سرعت با در نظر گرفتن $E_x = V_w / w$

$$\frac{\partial^2 u_x}{\partial y^2} + \frac{\partial^2 u_x}{\partial z^2} + \left(\frac{\sigma B_0 V_0}{\mu w} \right) = k \quad (\text{الف ۸})$$

$$c = \frac{\sigma B_0 V_0}{\mu w} > 0$$

بنابراین معادله (الف ۲) تبدیل به یک معادله دیفرانسیل مرتبه دوم

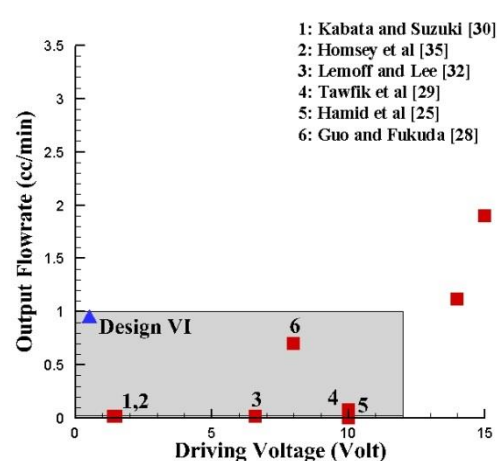
همگن می‌گردد:

$$\frac{\partial^2 u}{\partial y^2} + \frac{\partial^2 u}{\partial z^2} = p^* \quad (\text{الف ۹})$$

جدول ۶. عملکرد شش طراحی بهینه با در نظر گرفتن تولید حباب

Table 6. Performance of the six optimum designs in view of bubble formation

مورد	تولید حباب
اول	خیر
دوم	بله
سوم	بله
چهارم	خیر
پنجم	بله
ششم	خیر



شکل ۹. مقایسه میان موارد بهینه شده و دیگر میکروپمپ‌های سیستم‌های تحویل دارو

Fig. 9. Comparison between optimized cases and other micropumps for drug delivery systems

شده برای پیش‌بینی شکل‌گیری حباب در میکروپمپ به دلیل الکتروولیز محلول، استفاده گردید. از میان شش مورد، سه مورد آن به دلیل شکل‌گیری حباب کنار گذاشته شدند. از میان سه مورد باقیمانده که در حین عملکرد، حبابی تولید نمی‌کردند، موردی که دارای بالاترین بازده ترمودینامیکی بود انتخاب گردید و عملکرد آن با پمپ‌های مشابه در دسترس مورد مقایسه قرار گرفت. در انتهای نشان داده شد میکروپمپ طراحی شده ۳۳٪ محلول داروی بیشتر در ولتاژ کارکردی ۱۶ برابر کمتر پمپ می‌کند. این مورد به خوبی نگرانی‌ها در خصوص تولید حباب و توان مصرفی را نیز برطرف می‌نماید.

ضمیمه الف

معادله پیوستگی (رابطه (۱)) با درنظر گرفتن خواص فیزیکی ثابت و جریان آرام ($u_x = 0, u_y = 0, u_z = 0$) می‌تواند به شکل ذیل نوشته شود:

$$u\left(+\frac{w}{2}, z\right) = v_1\left(+\frac{w}{2}, z\right) + v_2(z) = 0 \quad (19)$$

$$u(y, 0) = v_1(y, 0) + v_2(0) = 0 \quad (الف ۱۹)$$

$$u(y, h) = v_1(y, h) + v_2(h) = 0$$

شرط مرزی برای v_1 :

$$v_1\left(-\frac{w}{2}, z\right) = -v_2(z) \quad (الف ۲۰)$$

$$(الف ۲۰)$$

$$v_1(y, 0) = 0$$

$$v_1(y, h) = 0$$

همپنین شرایط مرزی برای v_1 :

$$v_2(0) = 0 \quad (الف ۲۱)$$

$$v_2(h) = 0$$

بنابراین معادله دیفرانسیل پارهای مرتبه دوم همگن (رابطه (الف ۹)) تقسیم به دو معادله دیفرانسیل (الف ۱۷) و (الف ۱۸) با شرایط مرزی (الف ۱۹) و (الف ۲۰) می‌شود.

از آنجایی که معادله دیفرانسیل پارهای (الف ۱۷) و شرایط مرزی آن همگن و خطی هستند با فرض $v_1(y, z) = F(y)G(z)$ استفاده از جداسازی متغیرها بددست می‌آید:

$$v_1(y, z) = \sum_{n=1}^{\infty} \left[\begin{array}{l} A_n^* \sinh \lambda_n y \\ B_n^* \cosh \lambda_n y \end{array} \right] \sin \lambda_n z \quad (الف ۲۲)$$

$$\lambda_n = \frac{n\pi}{h} \quad n = 0, 1, \dots, \infty$$

با انتگرال گرفتن از رابطه (الف ۱۷) و شرایط مرزی (الف ۲۱) :

$$\frac{dv_2}{dz} = p^* z + c_1 \quad (الف ۲۳)$$

$$v_2 = \frac{1}{2} p^* z^2 + c_1 z + c_2 \quad (الف ۲۴)$$

$$c_1 = -\frac{1}{2} p^* h, \quad c_2 = 0 \quad (الف ۲۵)$$

$$p^* = \frac{1}{\mu} \frac{dp}{dx} - c \quad (الف ۱۰)$$

با اضافه کردن شرط عدم لغزش در دیوارهای:

$$y = -\frac{p}{2}: \quad u_x = 0$$

$$y = +\frac{p}{2}: \quad u_x = 0 \quad (الف ۱۱)$$

$$z = 0: \quad u_x = 0$$

$$z = h: \quad u_x = 0$$

میدان فشار با استفاده از انتگرال گیری رابطه (الف ۶) و با در نظر

گرفتن شرایط مرزی (روابط (الف ۷)) بددست می‌آید:

$$p(x) = \left[\frac{p_1 - p_0}{L} \right] x + p_0 \quad (الف ۱۲)$$

$$k = \frac{p_1 - p_0}{\mu L} \quad (الف ۱۳)$$

با قراردادن رابطه (الف ۱۰):

$$p^*(x) = \frac{w(p_1 - p_0) - \sigma B_0 V_0 L}{\mu w L} \quad (الف ۱۴)$$

همچنین برای محاسبه میدان سرعت از رابطه (الف ۹):

$$u(y, z) = v_1(y, z) + v_2(z) \quad (الف ۱۵)$$

بنابراین:

$$\frac{\partial^2 v_1}{\partial y^2} + \frac{\partial^2 v_1}{\partial z^2} + \frac{d^2 v_2}{dz^2} = p^* \quad (الف ۱۶)$$

و سپس با بازنویسی رابطه (الف ۱۶):

$$\frac{\partial^2 v_1}{\partial y^2} + \frac{\partial^2 v_1}{\partial z^2} = 0 \quad (الف ۱۷)$$

$$\frac{d^2 v_2}{dz^2} = p^* \quad (الف ۱۸)$$

بنابراین:

$$u\left(-\frac{w}{2}, z\right) = v_1\left(-\frac{w}{2}, z\right) + v_2(z) = 0$$

بنابراین:

$$A_n^* = \frac{2p^*}{h\lambda_n^3} [1 - \cos(\lambda_n h)] \quad (36)$$

با قراردادن رابطه (الف ۳۶) در رابطه (الف ۳۴):

$$B_1^* = \frac{2p^*}{h\lambda_n^3 \cosh\left(\lambda_n \frac{w}{2}\right)} [1 - \cos(\lambda_n h)] \quad (37)$$

سرانجام با استفاده از روابط بدست آمده میدان سرعت بدست

می‌آید:

$$u(y, z) = \sum_{n=1}^{\infty} [B_1^* \cosh \lambda_n y] \sin \lambda_n z + \frac{1}{2} p^* (z^2 - zh) \quad (38)$$

$$B_1^* = \frac{2p^*}{h\lambda_n^3 \cosh\left(\lambda_n \frac{w}{2}\right)} [1 - \cos(\lambda_n h)] \quad (38)$$

$$\lambda_n = \frac{n\pi}{h} \quad n = 1, 2, \dots, \infty$$

$$p^*(x) = \frac{w(p_1 - p_0) - \sigma B_0 V_0 L}{\mu w L}$$

و برای سرعت میانگین در راستای محور کanal:

$$u_m = \frac{\int_0^h \int_{-\frac{w}{2}}^{\frac{w}{2}} u(y, z) dy dz}{\int_0^h \int_{-\frac{w}{2}}^{\frac{w}{2}} dy dz} \quad (39)$$

بنابراین:

$$u_m = \frac{1}{wh} \sum_{n=1}^{\infty} \left[\frac{-2B_1^*}{\lambda_n^2} \sinh\left(\lambda_n \frac{w}{2}\right) \right] \quad (40)$$

$$(\cos(\lambda_n h) - 1) - \frac{p^* wh^3}{12}$$

سرانجام برای نرخ جريان خروجی بدست می‌آيد:

$$Q = u_m A = \sum_{n=1}^{\infty} \left[\frac{-2B_1^*}{\lambda_n^2} \sinh\left(\lambda_n \frac{w}{2}\right) \right] (\cos(\lambda_n h) - 1) - \frac{p^* wh^3}{12} \quad (41)$$

بنابراین:

$$v_2(z) = \frac{1}{2} p^* (z^2 - zh) \quad (26)$$

$$v_1\left(-\frac{w}{2}, z\right) = \sum_{n=1}^{\infty} \left[\begin{array}{l} A_1^* \sinh \lambda_n \left(-\frac{w}{2}\right) \\ B_1^* \cosh \lambda_n \left(-\frac{w}{2}\right) \end{array} \right] \sin \lambda_n z = -v_2(z) \quad (27)$$

$$A_n^* = A_1^* \sinh \lambda \left(-\frac{w}{2}\right) + B_1^* \cosh \lambda \left(-\frac{w}{2}\right)$$

$$v_1\left(-\frac{w}{2}, z\right) = \sum_{n=1}^{\infty} A_n^* \sin \lambda_n z = -v_2(z) \quad (28)$$

$$v_1\left(+\frac{w}{2}, z\right) = \sum_{n=1}^{\infty} \left[\begin{array}{l} A_1^* \sinh \lambda_n \left(+\frac{w}{2}\right) \\ B_1^* \cosh \lambda_n \left(+\frac{w}{2}\right) \end{array} \right] \sin \lambda_n z = -v_2(z) \quad (29)$$

$$B_n^* = A_1^* \sinh \lambda \left(\frac{w}{2}\right) + B_1^* \cosh \lambda \left(\frac{w}{2}\right)$$

$$v_1\left(+\frac{w}{2}, z\right) = \sum_{n=1}^{\infty} B_n^* \sin \lambda_n z = -v_2(z) \quad (30)$$

با توجه به اینکه رابطه یک سری فوریه است پس:

$$A_n^* = \frac{1}{h} \int_{-h}^h [-v_2(z) \sin \lambda_n z] dz = -\frac{2}{h} \int_0^h [v_2(z) \sin \lambda_n z] dz \quad (31)$$

$$B_n^* = -\frac{2}{h} \int_0^h [v_2(z) \sin \lambda_n z] dz \quad (32)$$

$$A_n^* = B_n^* \quad (33)$$

سپس:

$$B_1^* = \frac{A_1^*}{\cosh\left(\lambda_n \frac{w}{2}\right)} \quad (34)$$

با استفاده از رابطه (الف ۳۴) و (الف ۳۵):

$$A_n^* = -\frac{2}{h} \int_0^h \left[\frac{1}{2} p^* (z^2 - zh) \sin \lambda_n z \right] dz \quad (35)$$

بنابراین A_n^* محاسبه می‌شود:

فهرست علائم یونانی

گذردهی الکتریکی	$\epsilon.$
لزجت (Pa.s)	μ
نفوذپذیری مغناطیسی	$\mu.$
چگالی (kg/m^3)	ρ
رسانایی الکتریکی (زیمنس)	σ

مراجع

- [1] K.K. Jain, Drug delivery systems-an overview, in: Drug delivery systems, Springer, 2008, pp. 1-50.
- [2] Y.-N. Wang, L.-M. Fu, Micropumps and biomedical applications-A review, Microelectronic Engineering, 195 (2018) 121-138.
- [3] C. Joshitha, B. Sreeja, S. Radha, A review on micropumps for drug delivery system, in: 2017 International Conference on Wireless Communications, Signal Processing and Networking (WiSPNET), IEEE, 2017, pp. 186-190.
- [4] R.R. Gidde, P.M. Pawar, V.P. Dhamgaye, Fully coupled modeling and design of a piezoelectric actuation based valveless micropump for drug delivery application, Microsystem Technologies, 26(2) (2020) 633-645.
- [5] K.S. Rao, M. Hamza, P.A. Kumar, K.G. Sravani, Design and optimization of MEMS based piezoelectric actuator for drug delivery systems, Microsystem Technologies, (2019) 1-9.
- [6] H. Lee, H. Choi, M. Lee, S. Park, Preliminary study on alginate/NIPAM hydrogel-based soft microrobot for controlled drug delivery using electromagnetic actuation and near-infrared stimulus, Biomedical Microdevices, 20(4) (2018) 103.
- [7] X. Guo, Z. Luo, H. Cui, J. Wang, Q. Jiang, A novel and reproducible release mechanism for a drug-delivery system in the gastrointestinal tract, Biomedical microdevices, 21(1) (2019) 25.
- [8] F. Forouzandeh, Implantable Microsystem Technologies

فهرست علائم انگلیسی

مساحت سطح مقطع (مترمربع)	A
شدت میدان مغناطیسی (تسلا)	\vec{B}
ظرفیت گرمایی ویژه ($J/K \text{ kg}$)	C_p
چگالی شار الکتریکی (C/m^3)	\vec{D}
میدان الکتریکی	\vec{E}
نیروی لورنتز (نیوتون)	\vec{F}_L
چگالی شار مغناطیسی (A/m)	\vec{H}
ارتفاع میکروپمپ (متر)	H
ارتفاع سطح مقطع (متر)	h
چگالی جریان (A/m^3)	\vec{J}
طول کانال (متر)	L
تعداد ردیفهای کانال	n_r
تعداد ستونهای کانال	n_c
توان مصرفی (وات)	P_{cons}
نرخ جریان (m^3/s)	Q
مقوامت الکتریکی (اهم)	R
نرخ تولید گونه‌ها	\square
مقوامت الکتریکی سیال (اهم)	R_f
منبع گرمایی به دلیل واکنش	S_R
دما (کلوین)	T
زمان (ثانیه)	t
بردار سرعت (m/s)	\vec{u}
سرعت میانگین (m/s)	u_m
حجم فیزیکی میکروپمپ (m^3)	V
ولتاژ باتری (ولت)	$V.$
عرض میکروپمپ (متر)	W
عرض سطح مقطع (متر)	w
کسر جرمی گونه‌ها	Y
اختلاف فشار (پاسکال)	Δp

- [19] J. Johari, J. Yunas, A.A. Hamzah, B.Y. Majlis, Piezoelectric micropump with nanoliter per minute flow for drug delivery systems, *Sains Malaysiana*, 40(3) (2011) 275-281.
- [20] P.-H. Cazorla, O. Fuchs, M. Cochet, S. Maubert, G. Le Rhun, Y. Fouillet, E. Defay, A low voltage silicon micro-pump based on piezoelectric thin films, *Sensors and Actuators A: Physical*, 250 (2016) 35-39.
- [21] A. Geipel, A. Doll, F. Goldschmidtboeing, P. Jantschkeff, N. Esser, U. Massing, P. Woias, Pressure-independent micropump with piezoelectric valves for low flow drug delivery systems, in: 19th IEEE International Conference on Micro Electro Mechanical Systems, IEEE, 2006, pp. 786-789.
- [22] D. Maillefer, H. van Lintel, G. Rey-Mermet, R. Hirschi, A high-performance silicon micropump for an implantable drug delivery system, in: Technical Digest. IEEE International MEMS 99 Conference. Twelfth IEEE International Conference on Micro Electro Mechanical Systems (Cat. No. 99CH36291), IEEE, 1999, pp. 541-546.
- [23] B. Ma, S. Liu, Z. Gan, G. Liu, X. Cai, H. Zhang, Z. Yang, A PZT insulin pump integrated with a silicon micro needle array for transdermal drug delivery, in: 56th Electronic Components and Technology Conference 2006, IEEE, 2006, pp. 5 pp.
- [24] K. Junwu, Y. Zhigang, P. Taijiang, C. Guangming, W. Boda, Design and test of a high-performance piezoelectric micropump for drug delivery, *Sensors and Actuators A: Physical*, 121(1) (2005) 156-161.
- [25] N.A. Hamid, B.Y. Majlis, J. Yunas, A. Syafeeza, Y.C. Wong, M. Ibrahim, A stack bonded thermo-pneumatic micro-pump utilizing polyimide based actuator membrane for biomedical applications, *Microsystem Technologies*, 23(9) (2017) 4037-4043.
- [26] S.R. Hwang, W.Y. Sim, G.Y. Kim, S.S. Yang, J.J. Pak, Fabrication and test of a submicroliter-level thermopneumatic micropump for transdermal drug For Nanoliter-Resolution Inner Ear Drug Delivery, (2019).
- [9] Y. Guan, Performance Analysis of a Microfluidic Pump Based on Combined Actuation of the Piezoelectric Effect and Liquid Crystal Backflow Effect, *Micromachines*, 10(9) (2019) 584.
- [10] N.-C. Tsai, C.-Y. Sue, Review of MEMS-based drug delivery and dosing systems, *Sensors and Actuators A: Physical*, 134(2) (2007) 555-564.
- [11] A. Nisar, N. Afzulpurkar, B. Mahaisavariya, A. Tuantranont, MEMS-based micropumps in drug delivery and biomedical applications, *Sensors and Actuators B: Chemical*, 130(2) (2008) 917-942.
- [12] F. Amrouche, Y. Zhou, T. Johnson, Current micropump technologies and their biomedical applications, *Microsystem technologies*, 15(5) (2009) 647-666.
- [13] J.L. Thomas, S. Bessman, Prototype for an implantable micropump powdered by piezoelectric disk benders, *Transactions-American Society for Artificial Internal Organs*, 21 (1975) 516-522.
- [14] J. Smits, N. Vitafin, Piezo-electrical micropump, European patent EP0134614, Netherlands, (1984).
- [15] J.G. Smits, Piezoelectric micropump with three valves working peristaltically, *Sensors and Actuators A: Physical*, 21(1-3) (1990) 203-206.
- [16] T. Bourouina, A. Bossebuf, J.-P. Grandchamp, Design and simulation of an electrostatic micropump for drug-delivery applications, *Journal of Micromechanics and Microengineering*, 7(3) (1997) 186.
- [17] M.M. Teymoori, E. Abbaspour-Sani, Design and simulation of a novel electrostatic peristaltic micromachined pump for drug delivery applications, *Sensors and Actuators A: Physical*, 117(2) (2005) 222-229.
- [18] R. Zengerle, J. Ulrich, S. Kluge, M. Richter, A. Richter, A bidirectional silicon micropump, *Sensors and Actuators A: Physical*, 50(1-2) (1995) 81-86.

- [36] B. Nguyen, S.K. Kassegne, High-current density DC magnetohydrodynamics micropump with bubble isolation and release system, *Microfluidics and Nanofluidics*, 5(3) (2008) 383-393.
- [37] S. Lim, B. Choi, A study on the MHD (magnetohydrodynamic) micropump with side-walled electrodes, *Journal of mechanical science and technology*, 23(3) (2009) 739-749.
- [38] D. Chatterjee, S. Amiroudine, Lattice Boltzmann simulation of thermofluidic transport phenomena in a DC magnetohydrodynamic (MHD) micropump, *Biomedical microdevices*, 13(1) (2011) 147-157.
- [39] A.V. Lemoff, A.P. Lee, An AC magnetohydrodynamic microfluidic switch for micro total analysis systems, *Biomedical Microdevices*, 5(1) (2003) 55-60.
- [40] J. West, B. Karamata, B. Lillis, J.P. Gleeson, J. Alderman, J.K. Collins, W. Lane, A. Mathewson, H. Berney, Application of magnetohydrodynamic actuation to continuous flow chemistry, *Lab on a Chip*, 2(4) (2002) 224-230.
- [41] W. Ritchie, XIII. Experimental researches in voltaic electricity and electro-magnetism, *Philosophical transactions of the royal society of London*, (122) (1832) 279-298.
- [42] J.B. Friauf, Electromagnetic ship propulsion, *Journal of the American Society for Naval Engineers*, 73(1) (1961) 139-142.
- [43] O.M. Phillips, The prospects for magnetohydrodynamic ship propulsion, *Journal of ship research*, 43 (1962) 43-51.
- [44] R.S. Baker, M.J. Tessier, *Handbook of electromagnetic pump technology*, (1987).
- [45] K. Hosokawa, I. Shimoyama, H. Miura, Study of MHD(magnetohydrodynamic) micropump, *Nippon Kikai Gakkai Ronbunshu, C Hen/Transactions of the Japan Society of Mechanical Engineers, Part C*, 59(557) (1993) 205-210.
- [46] J. Koryta, J. Dvořák, L. Kavan, Principles of delivery, in: 2005 3rd IEEE/EMBS Special Topic Conference on Microtechnology in Medicine and Biology, IEEE, 2005, pp. 143-145.
- [27] O.C. Jeong, S.W. Park, S.S. Yang, J.J. Pak, Fabrication of a peristaltic PDMS micropump, *Sensors and Actuators A: Physical*, 123 (2005) 453-458.
- [28] S. Guo, T. Fukuda, SMA actuator-based novel type of micropump for biomedical application, in: IEEE International Conference on Robotics and Automation, 2004. Proceedings. ICRA'04. 2004, IEEE, 2004, pp. 1616-1621.
- [29] M.E. Tawfik, F.J. Diez, Maximizing fluid delivered by bubble-free electroosmotic pump with optimum pulse voltage waveform, *Electrophoresis*, 38(5) (2017) 563-571.
- [30] A. Kabata, H. Suzuki, Y. Kishigami, M. Haga, Micro system for injection of insulin and monitoring of glucose concentration, in: *SENSORS, 2005 IEEE*, IEEE, 2005, pp. 4 pp.
- [31] K.-H. Heng, W. Wang, M.C. Murphy, K. Lian, UV-LIGA microfabrication and test of an AC-type micropump based on the magnetohydrodynamic (MHD) principle, in: *Microfluidic Devices and Systems III*, International Society for Optics and Photonics, 2000, pp. 161-171.
- [32] A.V. Lemoff, A.P. Lee, An AC magnetohydrodynamic micropump, *Sensors and Actuators B: Chemical*, 63(3) (2000) 178-185.
- [33] J. Jang, S.S. Lee, Theoretical and experimental study of MHD (magnetohydrodynamic) micropump, *Sensors and Actuators A: Physical*, 80(1) (2000) 84-89.
- [34] L. Huang, W. Wang, M. Murphy, K. Lian, Z.-G. Ling, LIGA fabrication and test of a DC type magnetohydrodynamic (MHD) micropump, *Microsystem technologies*, 6(6) (2000) 235-240.
- [35] A. Homsy, V. Linder, F. Lucklum, N.F. de Rooij, Magnetohydrodynamic pumping in nuclear magnetic resonance environments, *Sensors and Actuators B: Chemical*, 123(1) (2007) 636-646.

- simulation of salt water electrolysis in parallel-plate electrode channel under forced convection, *Electrochimica Acta*, 53(2) (2007) 768-776.
- [49] K. Deb, A. Pratap, S. Agarwal, T. Meyarivan, A fast and elitist multiobjective genetic algorithm: NSGA-II, *IEEE transactions on evolutionary computation*, 6(2) (2002) 182-197.
- electrochemistry, John Wiley & Sons Inc, 1993.
- [47] K. Ito, T. Takahashi, T. Fujino, M. Ishikawa, Influences of channel size and operating conditions on fluid behavior in a MHD micro pump for micro total analysis system, *Journal of International Council on Electrical Engineering*, 4(3) (2014) 220-226.
- [48] J. Lu, D.-J. Li, L.-L. Zhang, Y.-X. Wang, Numerical

چگونه به این مقاله ارجاع دهیم

B. Zahed, A. Behzadmehr, H. Azarkish, T. Fanaei Sheikholeslami, G. Miri-Aliabad, *Design and multi-objective optimization of a magnetohydrodynamic drug delivery infusion micropump*, *Amirkabir J. Mech Eng.*, 53(10) (2022) 5221-5238.

DOI: [10.22060/mej.2021.19678.7088](https://doi.org/10.22060/mej.2021.19678.7088)



